

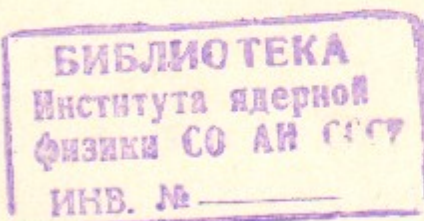
Н.69

28

ИНСТИТУТ ЯДЕРНОЙ ФИЗИКИ
СО АН СССР

В.И.Нифонтов, А.Д.Хильченко

РЕГИСТРАТОР ОДНОКРАТНЫХ ИМПУЛЬ-
СНЫХ СИГНАЛОВ "ИМПУЛЬС - А"



ПРЕПРИНТ ИЯФ 79-39

Новосибирск

В.И.Нифонтов, А.Д.Хильченко

РЕГИСТРАТОР ОДНОКРАТНЫХ ИМПУЛЬСНЫХ
СИГНАЛОВ "ИМПУЛЬС-А"

А н н о т а ц и я

Описан прибор, построенный на основе АЦП параллельного типа, предназначенный для использования в системах регистрации быстропротекающих процессов. Прибор позволяет измерять текущие значения входного сигнала через каждые 10 нс с погрешностью $\pm 1,5\%$, накапливать результаты измерений в БЗУ емкостью 128 слов и выводить накопленные данные в ЭВМ. Прибор выполнен в стандарте КАМАК.

В некоторых физических экспериментах возникает задача фиксации формы однократных импульсных сигналов, длительность которых меняется в широких пределах - от нескольких десятков наносекунд до сотен микросекунд. Традиционные методы регистрации таких сигналов, основанные на применении осциллографов с запоминанием и фиксирующих фотокамер, приводят к большим затратам времени на обработку осциллограмм и, как правило, не обладают необходимой точностью.

Использование в подобных случаях ЭВМ открывает широкие возможности, но требует создания специальной аппаратуры для регистрации однократных сигналов цифровыми методами.

В ИЯФ СО АН СССР разработано несколько таких устройств, полностью заменяющих осциллографические каналы регистрации [1]. Ниже описывается один из наиболее быстродействующих приборов этой серии - "Импульс-А".

Регистратор однократных процессов "Импульс-А" построен на базе быстродействующего АЦП параллельного преобразования и включает в себя, кроме АЦП, следующие основные узлы (рис. I):

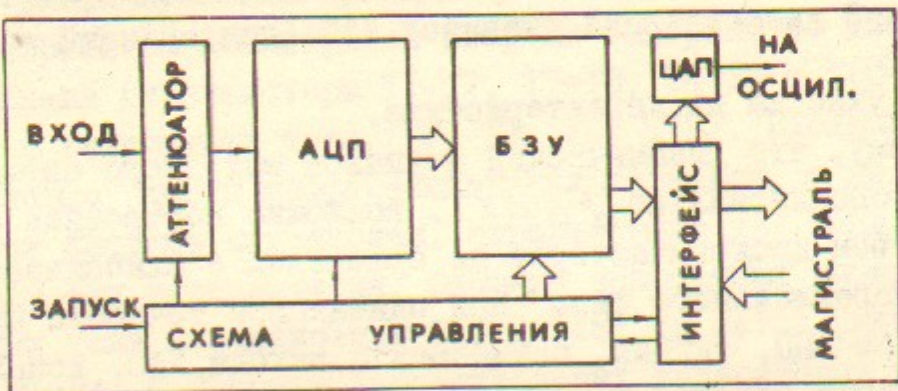


Рис. I.

буферное запоминающее устройство (БЗУ), интерфейс к системе КАМАК, схему управления, цифроаналоговый преобразователь (ЦАП). Кратко остановимся на процессе обработки входного сигнала. Сигнал поступает на вход АЦП через программно-управляемый аттенюатор. АЦП осуществляет преобразование текущего значения входного сигнала в код,

который далее фиксируется в БЗУ через заданные схемой управления промежутки времени. Предусмотрен режим работы, при котором момент фиксации данных определяется поступлением внешнего строб-импульса. Запись данных в БЗУ происходит до заполнения всего объема памяти. По окончании этого процесса блок переходит в режим вывода накопленных данных. Вывод данных может осуществляться в ЭВМ через магистраль крейта либо через встроенный ЦАП на осциллограф. Переход от одного режима к другому, в зависимости от состояния блока, выполняется автоматически или программно.

Рассмотрим подробнее принципы построения основных узлов регистратора. Наиболее ответственным и определяющим практически все метрологические характеристики прибора, является узел АЦП. При его построении использованы устройства амплитудной свертки сигнала (УАС) и быстродействующие параллельные компараторные секции.

Амплитудная характеристика УАС описывается выражением [2]:

$$U_{b_{jx}} = \begin{cases} U_{bx} - jU_c & j = 0, 2, 4 \dots \\ (1+j)U_c - U_{bx} & j = 1, 3, 5 \dots \end{cases}$$

где $U_{b_{jx}}$ и U_{bx} – значения выходного и входного сигналов;

U_c – выходной динамический диапазон УАС (приведенный к входу);

j – номер участка на характеристике.

Благодаря тому, что динамический диапазон выходного сигнала УАС сокращается пропорционально j_{max} , возможно построение АЦП с меньшим количеством дискриминаторов по сравнению с классическим преобразователем параллельного типа при одинаковой точности преобразования. В таком АЦП, сигнал, снимаемый с выхода УАС, используется для определения младших разрядов кода малоразрядным преобразователем. Старшие разряды кода определяются с помощью отдельных компараторов, срабатывающих в точках излома амплитудной характеристики УАС [3].

При построении АЦП использованы два УАС, амплитудные характеристики которых имеют по одной точке излома и сдвинуты друг относительно друга на $U/2$ (рис.2).

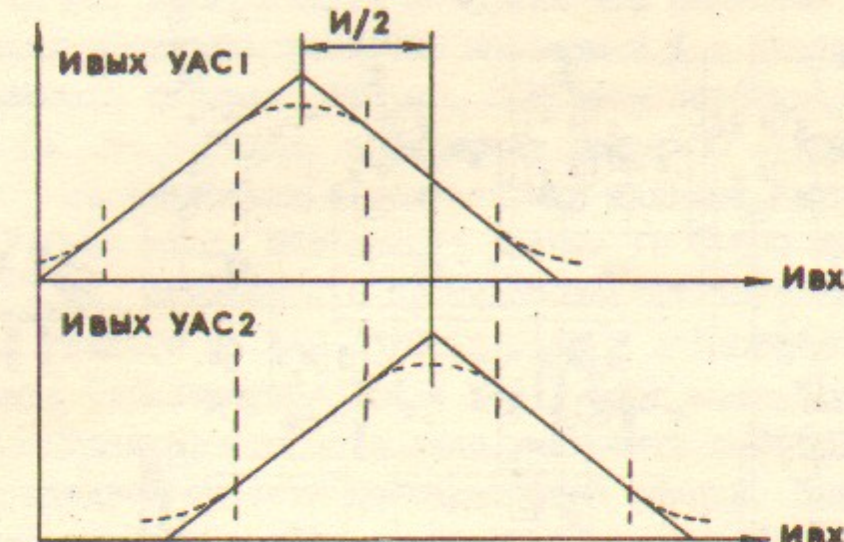


Рис. 2.

В этом случае, нелинейный участок сигнала на выходе УАС1 (точка излома), имеет место тогда, когда выходной сигнал УАС2 линейно связан с выходным сигналом. К выходу каждого из УАС подключается параллельная компараторная секция. Обе компараторные секции идентичны. На рис.3 показана принципиальная схема построения АЦП.

Устройства амплитудной свертки содержат по два дифференциальных каскада (транзисторы T1-T2, T7-T8, T4-T5 и T10-T11, соответственно) и генератора тока (T3, T9, T6, T12). Входной сигнал подается на левые входы дифференциальных каскадов, а на другие входы подаются опорные напряжения, определяющие для каждого из каскадов середину зон переключения. Опорные напряжения вырабатываются генераторами тока (транзисторы T13 и T18) на сетке разносящих сопротивлений R1+R4. С помощью дополнительных генераторов тока (транзисторы T19 и T20) можно сместить характеристики УАС в область положительных, знакопеременных или отрицательных значений сигнала.

Каждый из дифференциальных каскадов в УАС работает как управляемый входным сигналом переключатель тока. При указанных на принципиальной схеме номиналах резисторов и токе генератора тока, рав-

K4

K4

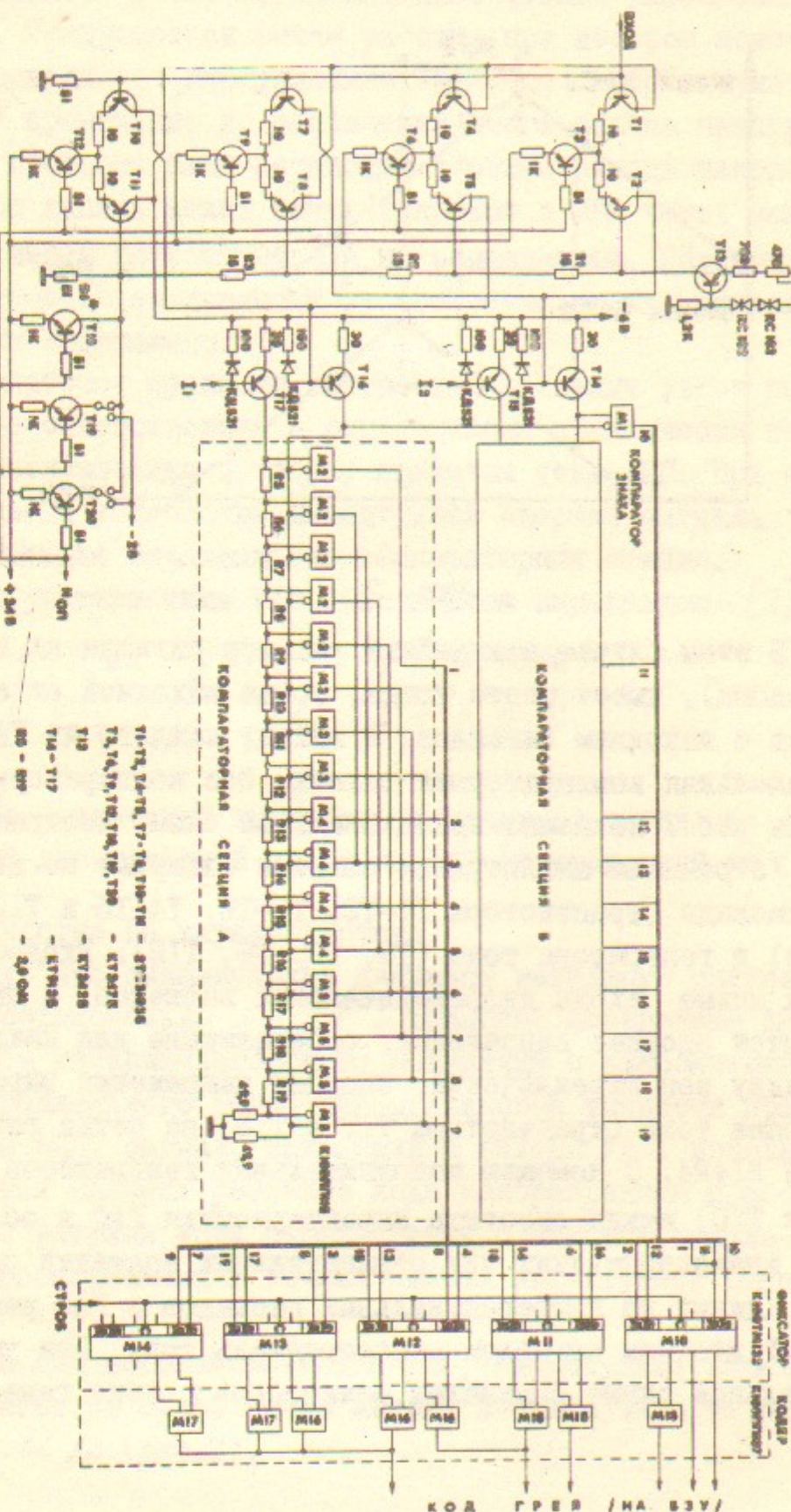


Рис. 3.

6

ном I_0 мА, нелинейность коэффициента передачи дифференциального каскада составила величину меньшую 2 % в диапазоне изменения управляющего сигнала ± 125 мВ. При этом, переключение тока от уровня $0,01 I_0$ до $0,99 I_0$ происходит при $U_{bx} = \pm 250$ мВ (где $I_0 = 10$ мА).

В соответствии с полученными данными, полный динамический диапазон УАС по входу был принят равным I_B (± 500 мВ, $0 \pm I_B$, $0 \pm -I_B$).

Токи, снимаемые с противоположных плеч дифференциальных каскадов каждого из УАС, суммируются, и подаются на входы следующего каскада (транзисторы T14 и T16). Этот каскад имеет малое выходное сопротивление, что позволило уменьшить постоянную времени перезаряда входной емкости компараторной секции. Для уменьшения влияния температурного дрейфа транзистора и нелинейности его характеристики, в базовую цепь включен корректирующий диод, а в эмиттерную цепь – резистор. Генераторы тока, (транзисторы T15 и T17) формирующие на резистивной сетке компараторной секции ($R_5 + R_{19}$ и $R_5 + R_{19}'$) опорные напряжения, выполнены аналогично выходному каскаду УАС. Такое решение снижает влияние на компараторы синфазных помех.

Компараторные секции, подключенные к выходам УАС, содержат по 16 компараторов, реализованных на дифференциальных приемниках с линии К100ЛП15. На один из входов каждого компаратора подается сигнал от УАС, а на второй вход – соответствующее опорное напряжение с резистивной сетки. Благодаря тому, что элементы К100ЛП15 имеют открытые эмиттерные выходы, возможно попарное объединение выходов компараторов по схеме "или". Это позволило сократить количество выходных шин компараторных секций с 16 до 9.

Кроме компараторных секций, в состав АЦП входит индивидуальный компаратор, фиксирующий разницу между выходными сигналами первого и второго УАС. Этот компаратор предназначен для определения значения старшего разряда АЦП.

На элементах К100ТМ133 реализована схема фиксации состояния компараторов. Сигналы, снимаемые с выходов схемы фиксации, преобразуются кодером (элементы К100ЛП07) в шестизначный код Грэя.

Кратко рассмотрим особенности построения буферного запоминающего устройства (БЗУ). Скорость приема данных и разрядность БЗУ определяются параметрами АЦП и составляют 10^8 слов/сек и 6 разрядов, соответственно. Необходимую скорость приема данных обеспечи-

7

VY

вают ЗУ, построенные на основе ЭСЛ-элементов, имеющих большую мощность рассеяния. В то же время, процессы, для регистрации которых предназначен прибор, носят импульсный характер, с малой частотой повторения. В связи с этим, организация БЗУ предусматривает возможность импульсного питания всех элементов, реализованных на ЭСЛ-логике.

Структура построения БЗУ показана на рис.4. В его состав входят: два быстрых ЗУ (ЗУ1 и ЗУ2), емкостью по 64 шестизадрядных слова каждое, осуществляющие прием данных от АЦП поочередно; транзистор уровня ЭСЛ - ТТЛ; преобразователь кода Грея в двоичный код (2); ОЗУ, емкостью 128 шестизадрядных слов; схема управления режимами работы БЗУ и его адресацией; схема импульсного питания (1).

Перед началом рабочего цикла, программным образом, либо по внешнему импульсу, включается питание АЦП, адресной части схемы управления и быстрых ЗУ. Начало цикла записи в БЗУ определяется по моменту поступления внешнего импульса запуска. После заполнения всего объема быстрой памяти (128 слов) происходит переход к режиму передачи накопленных данных в ОЗУ. По окончании этого процесса, с узлов, указанных выше, снимается питание. Дальнейшие операции, связанные с выводом данных из ОЗУ, осуществляются по сигналам, поступающим с магистрали крейта. В качестве элементов памяти использованы ЭСЛ ЗУ типа К500РУ148 и КМОП ЗУ типа К564РУ2А.

Остановимся на работе схемы импульсного питания (рис.5). В исходном состоянии транзисторы T₂, T₃ и T₄ закрыты, а емкость C₁ заряжена до напряжения -16 В через цепочку R₁, T₁ от источника -24 В. Резистор R₁ ограничивает максимальный ток заряда емкости на уровне 100 мА. При поступлении на вход S триггера питания (ТП) импульса "подготовка", открываются транзисторы T₂ и T₃. На базу транзистора T₄ подается потенциал $U_5 = -6$ В. Транзистор T₄ открывается и, разряжая емкость C₁, формирует на R_H напряжение $U_{B_{out}} = U_5 - U_{D7} \approx 5,2$ В. Выключение источника импульсного питания осуществляется одновременно с появлением сигнала запроса на обслуживание (L), говорящего о окончании рабочего цикла регистратора. Максимальная длительность импульса на выходе схемы питания, при указанных номиналах и токе нагрузки равном 4 А, составляет 10 мс.

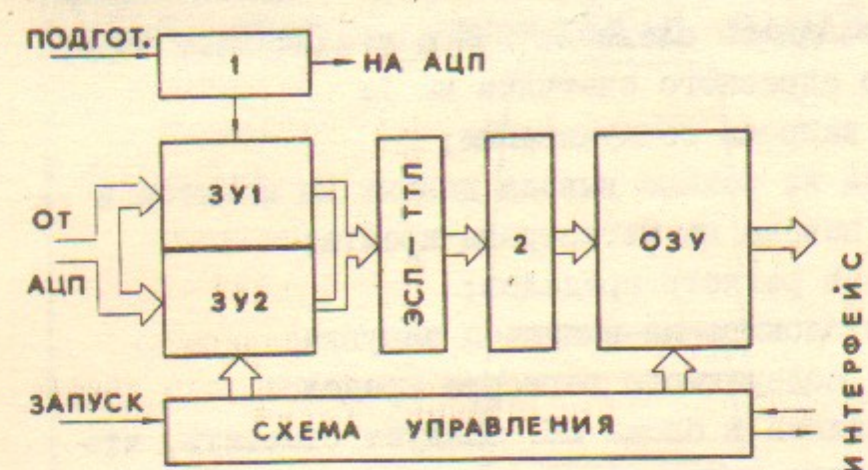


Рис.4.

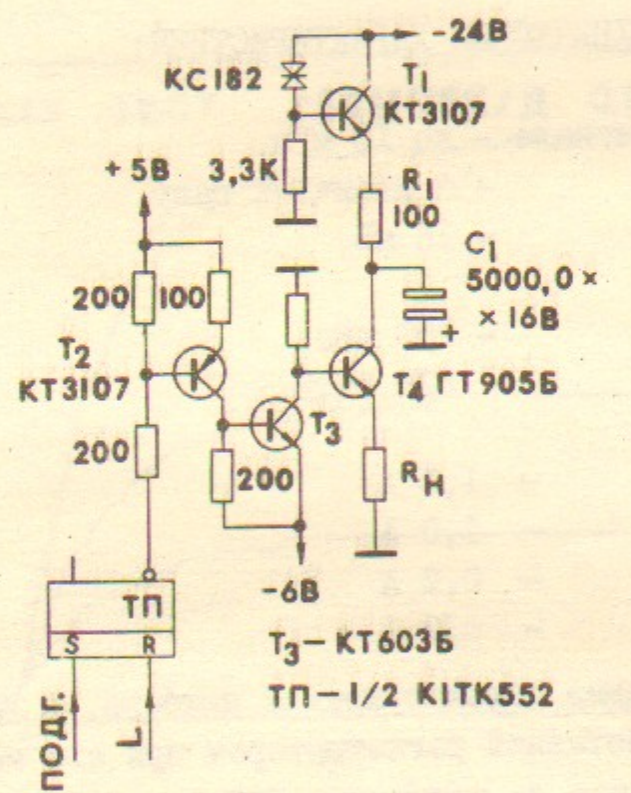


Рис.5.

4

- Интерфейсный узел прибора реализует следующий список команд:
- $F_{0A0} \quad R_1-R_6$ - чтение одного слова из ОЗУ с увеличением содержимого адресного счетчика на 1;
 - F_{1A0} - сброс запроса обслуживания;
 - F_{1A0} - переход из режима вывода данных на монитор в режим вывода на магистраль крейта;
 - $F_{17A0} \quad W_1-W_8$ - запись в регистр пределов;
 - F_{26A0} - снятие блокировки импульса запуска;
 - $F_{1A0} \quad R_1-R_8$ - чтение содержимого регистра пределов.

Конструктивно прибор выполнен в блоке 2М. Следует отметить, что широкополосность компонентов, использованных при построении регистратора, предъявляет жесткие требования к качеству компоновки блока и его монтажа.

ОСНОВНЫЕ ТЕХНИЧЕСКИЕ ХАРАКТЕРИСТИКИ:

Полоса обрабатываемого сигнала	- до 10 мГц,
Разрядность	- 6 двоичных разр.,
Большое кванта	- 16 мВ,
Максимальная частота дискретизации	- 100 мГц,
Емкость памяти	- 128 слов,
Потребляемые токи:	
от источника +6 В	- 1,0 А
-6 В	- 1,0 А
+24 В	- 0,2 А
-24 В	- 0,2 А

На рис.6 показаны переходные характеристики прибора, а на рис.7 - реальный сигнал, обработанный регистратором при его использовании в физическом эксперименте на установке ГОЛ-1.

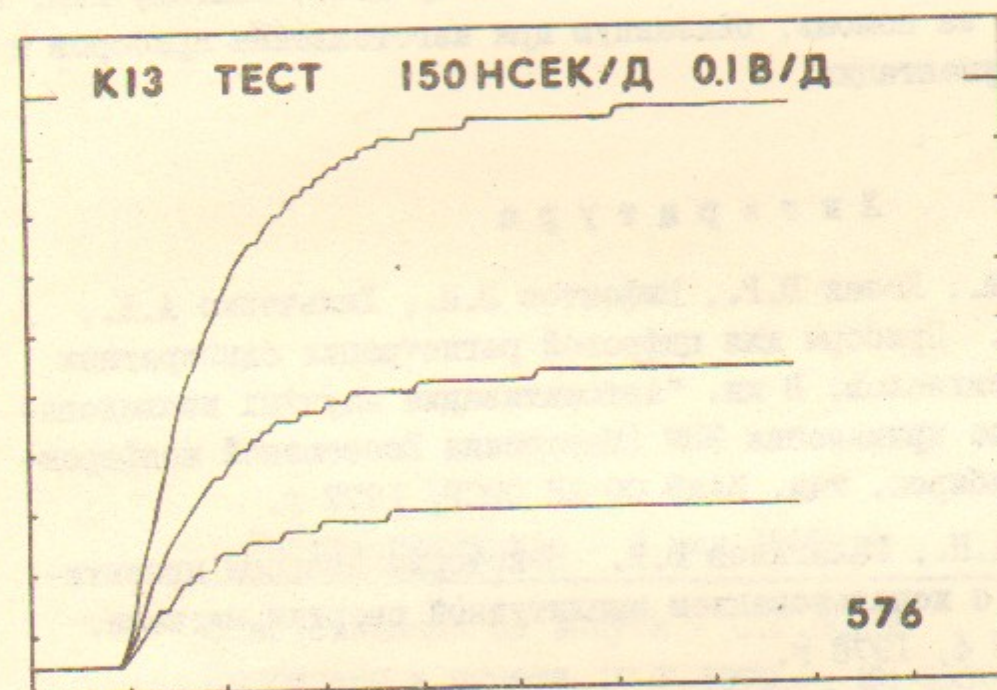
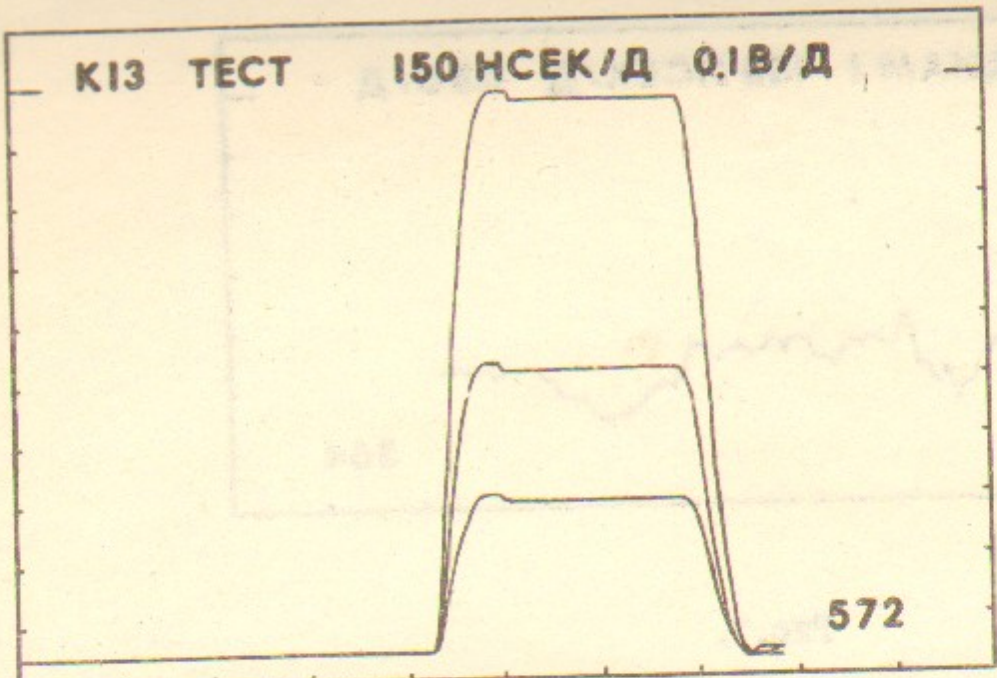


Рис.6.

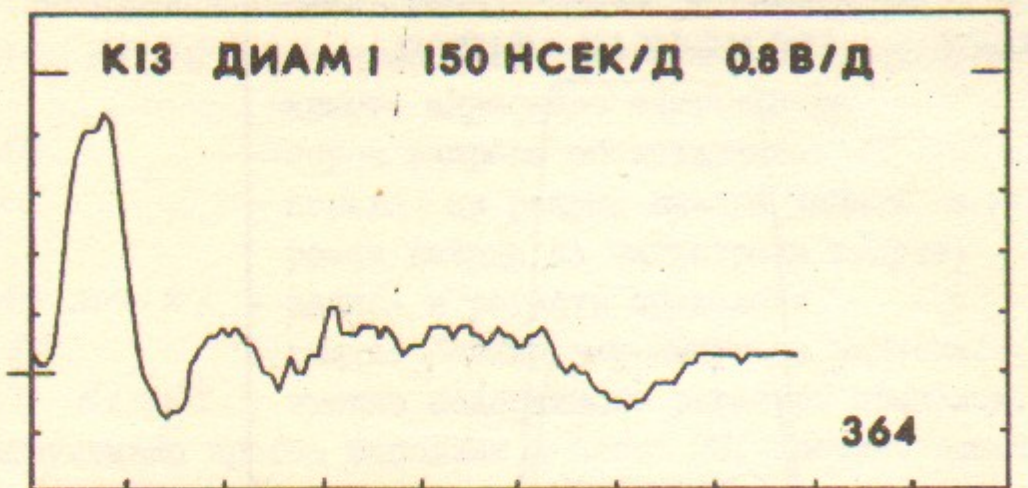


Рис.7.

Авторы выражают благодарность Матвееву Н.И., Вьюкову Г.И. и Скорюшину А.А. за помощь, оказанную при изготовлении приборов и оформлении документации.

Л и т е р а т у р а

1. Батраков А.М., Козак В.Р., Нифонтов В.И., Хильченко А.Д., Чуканов В.В. Приборы для цифровой регистрации однократных импульсных сигналов. В кн. "Автоматизация научных исследований на основе применения ЭВМ (Материалы Всесоюзной конференции). Новосибирск, изд. ИАиЭ СО АН СССР, 1977 г.
2. Касперович А.Н., Шалагинов Ю.В. Некоторые вопросы проектирования АЦП с использованием амплитудной свертки сигнала. Автометрия № 4, 1978 г.
3. Arbel A. Kurz R. FAST ADS IEEE Trans Nucl. Sci. 1975. vol NS-22 N1 p 446-451

Работа поступила - 4 мая 1979 г.

Ответственный за выпуск - С.Г.ПОПОВ
Подписано к печати 17.у-1979 г. МН 06306
Усл. 0,7 печ.л., 0,6 учетно-изд.л.
Тираж 250 экз. Бесплатно
Заказ № 39.

Отпечатано на ротапринте ИЯФ СО АН СССР